

12 海岸堤防の越レ波防止効果について

京都大学工学部 工博 石原藤次郎
京大防災研究所 工博 岩垣 雄一
京大大学院(元) 三井 宏

1. 緒言

従来、海岸堤防の設計にあたっては、堤防壁面上の波の越上高を求め、それより大きな高さをもつ堤防を建設し、陸地外に侵入する越レ波を完全に防止するという見解が取られてきた。この場合は非常に大きな堤体を必要とし、背後地の経済価値を考えあわせた科学的設計は望むべくもない。そこでもし経済効果を考慮した海岸堤防を設計するには、被害のない程度の越レ波量を許し、堤防の有効高さを低くすることが考えられる。こうした場合に、背後地の危険度の推定や堤外の排水設備、潮遊びなどの設計に際して、越レ波量が重要な問題となってくることは明らかである。この越レ波量に影響するものとしては、未襲する波の特性、堤防の型式、静水面よりの堤高、堤防設置位置、海岸地形、および風など非常に多数の要素があり、その現象は複雑をきわめ、二、三の要因で容易に処理することはできないし、また理論的な解析はまだ全然おこなわれていないといつても過言ではない。

そこで本文においては、われわれの行なった縮尺の異なる2種類の実験およびこれまでに発表された諸種の実験記録に基づいて、越レ波量とそれに影響を及ぼす前述の諸要素との関係を実験的に確かめ、同時に越レ波量に及ぼす堤防の壁面粗度、天端巾などの影響についても考察をすすめていくことにする。

2. 実験装置および実験方法

(1) 実験装置 われわれの行なった実験は、屋内水槽による二次元的な実験と屋外扇形水槽による三次元的な、斜めに波が未襲する場合の実験とに分けられる。屋内水槽による実験は、さきに発表した堤防の有効高さ¹⁾を解析した場合の水槽を用い、実験波としては表-1の種類の波を使用した。

堤防の模型としては、表面の滑りかな合成樹脂性の平板を使用し、壁面の角度は 20° , 30° , 45° , 60° , 90° の5種類で、その各々の傾斜角度をもつ堤防の堤高は2 cmごとに変化できるようにしたもののである。堤防の設置場所は、その法先の水深が、0, 7および10 cmの3種類であって、堤防を置かない場合の碎波率がこれらの一

表-1 屋内水槽で用いた実験波

波の種類	波高 H_0	波長 L_0	周期 T	波形勾配 H_0/L_0
1	6.70 cm	219.0 cm	1.185 s	0.0306
2	7.46	105.3	1.090	0.0402
3	8.04	160.7	1.015	0.0500
4	8.07	140.8	0.950	0.0573
5	8.26	123.5	0.890	0.0668
6	7.23	110.1	0.840	0.0657
7	7.24	90.1	0.760	0.0803

水深の範囲内に含まれている。

屋外水槽による実験には、波の入射角が自由に変化できる扇形水槽¹⁾を用い、波形勾配 $0.0389 \sim 0.0827$ の波について入射角を 45° とした鉛直壁の場合のみの実験を行った。

(2) 実験方法 屋内水槽においては、3種類の堤防法先水深 h 、5種類の壁面角度 θ 、静水面よりの各堤高 H_0 、および7種類の沖波のすべての組合せに対して、越し波量を測定した。堤防に到達する最初の波は定常状態になっていないと思われたので、平均5回目の波から測定を始め、そのつきの1回目から5回目までの越し波量を採取した。同時に越し波量に大きな影響を及ぼすものと考えられる反射率をHealy²⁾の方法で求めた。図-1はその計算結果の一例を示すものであり、縦軸に反射率、横軸に静水面上の堤高 H_0 と沖波の波高 H_0 との比 H_0/H_0 をとって、沖波の波形勾配ごとにまとめてプロットしている。これらの結果は相当散らばっているが、 H_0/H_0 の変化が反射率に大して影響しないものと考えてよいであろう。したがって反射波の大きさは、この実験範囲より H_0/H_0 が小さい場合には、主に壁面の型式に支配されるものと考えられる。

なお、越し波の状態を明らかに観察するため、毎秒64駒の高速度撮影を行った。その結果壁面が水平に近い場合の越し波では、水分子の水平速度成分が相当大きくなるため、いずれも流れの状態を示しているが、壁面が鉛直に近くなる場合には、水分子の水平速度成分がほとんど認められず、波が堤体に衝突した反動によって堤防前面の水位が高まり、堤頂を越流する状態が観察された。

屋外水槽による実験の方法も、屋内水槽の場合とは同様である。

3. 実験結果の解析とその考察

以上の二種類の実験結果を用いて、その越し波防止効果を解析してみる。

(1) 鉛直壁の越し波防止効果

(a) 鉛直壁に直角に波が入射する場合：ここで解析に使用した実験値としては、室内実験の壁面角度が 90° の場合の実験結果および扇形屋外水槽における実験結果を用い、補足的にBeach Erosion Boardにおける実験³⁾によるものも採用した。これらの模型実験結果を実際の海岸に適用するには、無次元表示をすれば便利であって、ここに越し波量の無次元表示の方法が最も重要な問題となる。従来の研究では、この問題を越波のエネルギーの考察から解析しようとして、次式に示す無次元表示を採用したものが多いようである。^{3), 4)}

$$\frac{\text{越し波の位置エネルギー}}{\text{沖波の全エネルギー}} = \frac{\rho g Q H_0}{\frac{1}{2} \rho g H_0^2 L} = \frac{8 Q H_0}{H_0^2 L} \quad \cdots \cdots \quad (1)$$

ここに、 Q は1周期当たりの越し波量、 H_0 は静水面よりの堤高である。(1)式の沖波の全エネ

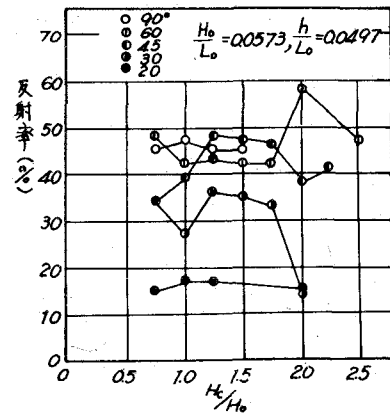


図-1 反射率と H_0/H_0 との関係。

ルギーの代りに、沖波の伝達エネルギーを用いても係数 δ が1/6となるだけで、結果は同じである。これらのエネルギー的考察のもう意味は、沖波のエネルギーの一部が変じて越しへの位置エネルギーになるのであるから、これらのエネルギーの相互関係を見出そうとするわけである。しかし、(1)式には H_0 が含まれていて、 $H_0=0$ の場合には越しへ量の表示が不可能となる欠点をもつている。したがって、われわれは上述の表示法を用いないことにして、潜堤のように H_0 がある場合はそれ以下の場合においても適用可能で、沖波の1周期当たりの岸側への水の移動量に対する堤防の越しへ量の比をもつて表示した。沖波の1周期当たりの岸側への水の移動量は、微小振幅理論を用いるとつきのようにして求めることができる。すなわち、平均水位上にx軸を波の進行方向にとり、x軸と直角にy軸を上方にとると、 $x=0$ における水分子の水平速度成分 u は次式で表わされる。

$$u = \frac{\partial x}{\partial t} = \frac{H_0}{2} e^{\frac{2\pi}{L_0} y} \sin\left(\sqrt{\frac{2\pi g}{L_0}} t\right) \cdot \left(\sqrt{\frac{2\pi g}{L_0}}\right) \quad \dots \dots \dots (2)$$

ここに、 H_0 は沖波の波高、 L_0 は沖波の波長、 y は水面の平均水位からの高さ、 t は時間 g は重力加速度である。

いま、 $x=0$ において波の進行方向と直角に無限水深に至る鉛直平面をとり、(2)式を用いてこの平面を岸方向に通過する単位幅当たりの水量 Q_0 を一つの波について求めると、次式であらわされる。

$$Q_0 = \int_{-\infty}^0 \int_{\frac{\pi}{2}}^{\frac{\pi}{2}} u \, dy \, d\left(\sqrt{\frac{2\pi g}{L_0}} t\right) = \frac{H_0 L_0}{2\pi} \quad \dots \dots \dots (3)$$

(3)式の Q_0 を用いると、堤防単位長の1周期当たりの越しへ量 Q は、(4)式のように無次元表示をすることができる。

$$\frac{Q}{Q_0} = \frac{2\pi Q}{H_0 L_0} \quad \dots \dots \dots (4)$$

なお、越しへ量には沖波の特性、堤防の法先水深、静水面上よりの堤高が関係するが、これらの各変数の影響は次式のような形であらわされるものと考えられる。

$$\frac{Q}{Q_0} = \frac{2\pi Q}{H_0 L_0} = f\left(\frac{H_0}{L_0}, \frac{h}{L_0}, \frac{H_0}{H_0}\right) \quad \dots \dots \dots (5)$$

以上の表示を用いて実験結果をプロットすると、例えは図-2のような曲線の関係がえられる。この図は波形勾配を一定とした場合について、両対数紙の縦軸に $2\pi Q/Q_0$ 、横軸に H_0/H_0 をとって、 h/L_0 をパラメータとしてあらわしたものである。

一般に壁面上またはその直前で碎波すると、水分子が衝撃的に堤体にぶつかり、非常に高く飛沫を打ち上げるから、 H_0 を相当大きくしても飛沫による越しへ波が観測されれる。図-2において相対水深 h/L_0 の大きい場合の曲線が小曲率でほぼ鉛直に近い傾斜であるのに対し、 h/L_0 が

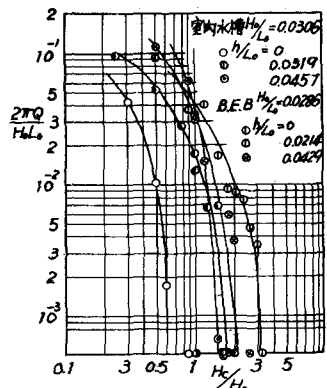


図-2 越しへ量を無次元表示した $2\pi Q/Q_0$ と相対堤高 H_0/H_0 との関係

小さく碎波状態で越える場合の曲線が大曲率である程度の傾斜をもっているのは、上述の飛沫の影響のためである。

相対水深 h/L_0 と相対堤高 H_0/H_0 との関係を見出すために、図-2 から一定の $2\pi Q/H_0 L_0$ に対する h/L_0 もよ $\alpha \cdot H_0/H_0$ の値を求めてプロットした一例が図-3 である。この図は波形勾配を一定とした場合について、縦軸に H_0/H_0 、横軸に h/L_0 をとって、 $2\pi Q/H_0 L_0$ をパラメーターとしてあらわしたものであるが、プロットした夷き波形勾配の変化とともにさう運動傾向を考慮して滑らかな曲線で結ぶと、相対堤高の最大夷きが碎波指標による相対碎波水深 h/L_0 (図に B.P. と記入) よりある程度左側に存在することがわかる。なお、図中 X 印のものは、越し波量が 0、すなわち波の打上げ高さに相当するものであるが、碎波夷付近で特にばらついているのは、飛沫の影響によるものと考えられる。

図-2 よび図-3においては、模型縮尺の異なる種々の実験値を同様の無次元表示で一緒にプロットしたが、実験値の変化の傾向がよく一致している。このように、実際海岸の波とほぼ大きさの等しい波を使った前記 B.E.B. における実験結果が、われわれの行なった比較的小さい模型による実験結果とよく一致した傾向を示すことは、上述の無次元表示法の妥当性を実証するものといえよう。

以上の実験結果からわかるように、沖波の特性がより静水面以上の堤高が一定の場合の越し波量を支配する最も重要な要因は、堤防の法先水深である。既設の海岸堤防では潮位が越し波量を左右するものと考えてよい。したがって、実際の海岸堤防では、潮位が非常に重要な設計条件になってくる。従来の設計では朔望平均満潮位に既往最大偏差を加えたものを計画高潮位にしているが、最近しばしば我が国を襲った異常高潮に対して、これら既往最大高潮位を採用して越流を完全に防ぐように海岸堤防を設計すれば、非常に高い堤防が必要となり、経済的にはほとんど実行が不可能となるから、ここに来る襲波浪に対する程度の越し波を許すという考え方とともに、高潮位に対する経済的な取扱いが必要になってくる。

海岸堤防における計画高潮位に相当する河川堤防の場合の計画高水位が、従来の既往最大洪水位を対象とするという考え方から、近年は確率洪水位を対象とする方向に移行してきていることからみても、上述のことは当然と思われる。この場合、河川で確率洪水を研究するためには過去の多数の洪水記録を必要としたように、海岸堤防においても過去の多数の高潮記録が必要となってくる。ところが過去10年間に相ついで大きい台風が我が国を襲い、その都度高潮によって各所に大災害をもたらし、苦い経験をなめさせられたので、近年は全国の検潮施設が急速に整備され、正確な記録が集められている。したがって高潮の

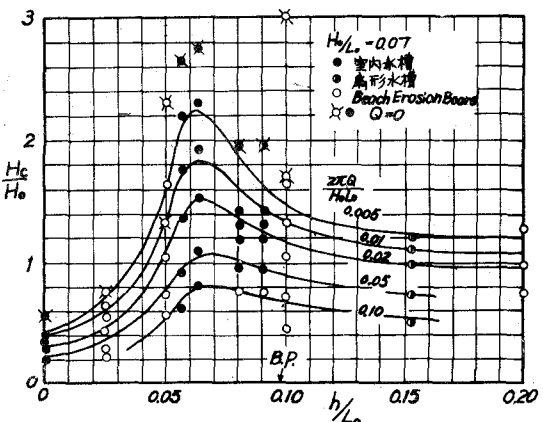


図-3 相対水深 h/L_0 と相対堤高 H_0/H_0 との関係。

統計的な取扱いもようやく可能になってきているが、このように新しい記録を取り入れた高潮の研究については、最近宮崎正衡氏⁵⁾や岸力氏⁶⁾の注目すべき成果が発表されている。

(b) 鉛直壁に斜めに波が入射する場合： この解析に用いた実験値は、沖浪の進行方向と海岸線のなす角度が 45° の場合について、前に述べた扇形水槽でわ木ら⁷⁾が行った実験によるものである。この場合、波は屈折して海岸線に束縛してくるから、(a)と同様の無次元表示をするためには、堤防設置位置の波をそれがそのまま沖から直進してきたときの相当冲浪に換算し、越しおよび波量もこの相当冲浪の進行方向に直角な堤防単位長当たりの越しおよび波量に換算する必要がある。したがって H_0 の代りに相当冲浪の波高 H_0' を用い、この冲浪の進行方向に直角な堤防単位長当たりの越しおよび波量を $Q \sec \alpha$ として(4)式に代入すると、斜めに波が入射する場合の越しおよび波量はつきのように無次元表示される。

$$\frac{Q'}{Q_0} = \frac{2\pi Q'}{H_0' L_0} = \frac{2\pi Q \sec \alpha}{K H_0 L_0} \quad \text{--- (6)}$$

ここに、 α は入射角であり、ダッシュは屈折しない場合の波に対する記号である。

堤防に直角に波が入射する場合の $2\pi Q H_0 L_0$ 、 H_0/H_0' 、 H_0/L_0 の代りに、 $2\pi Q K H_0 L_0$ 、 $H_0/K H_0$ 、 $K H_0/L_0$ を用い、図-2 および図-3 と同様にしてプロットすると、例えは図-4 および図-5 がえられる。この解析に用いた屈折係数 K および波の入射角 α は微小振幅波理論により計算したものである。ただし碎波以後の波の特性はすべて碎波の条件に支配されるものと考え、碎波点より岸側における K および α は碎波点のそれらに等しいとして計算している。したがって碎波点より岸側に堤防を置いた場合に、図-4 および図-5 を適用するには、碎波点における入射角 α_b 、屈折係数 K_b を使用しなければならない。

堤防に斜めに波が入射する場合の越しおよび波量を解析するには、いろいろな入射角の冲浪を用いた実験結果によるべきであるが、現在は $1/10$ の勾配の海岸に 45° の入射角をもつ冲浪の実験値しかえられていないので、この結果をできるだけ一般化する方針で上述の無次元表示を行ったのである。この実験において堤防設置位置における波の入射角度は約 20° から 40° までであったから、図-5 はこの範囲の角度で入射する海岸の波に対して適用できるだろう。

図-3 と図-5 を比較してみると、すべての場合図-5 に示す越しおよび波量は図-3 のそれより少なくなっていることが認められる。この越しおよび波量の減少する原因はつきのように考

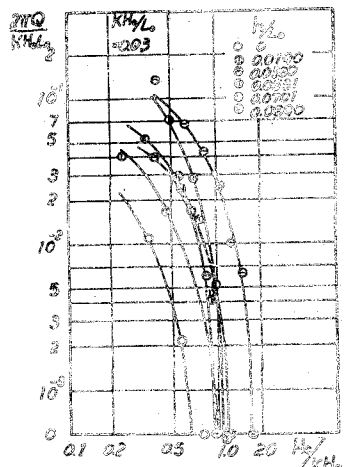


図-4 屈折波の無次元越しおよび波量 $2\pi Q K H_0 L_0$ と相対波高 $H_0/K H_0$ との関係

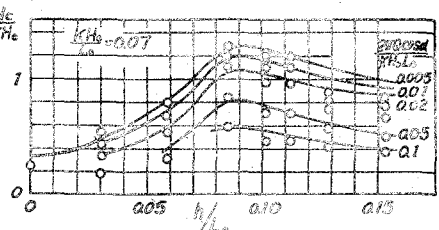


図-5 屈折波の越しおよび波量に対する相対波高 $H_0/K H_0$ と相対水深 h/L_0 との関係

えられる。すなわち、ある角度で入射した波は堤防に衝突して壁面上に打ち上げるのであるが、斜めに入射したためにこの場合の水分子は横方向の速度成分をもつていて、越し波のもつエネルギーの一部がこのような水分子の横方向の速度成分として消費され、したがって堤防に直角に波が入射する場合にくらべて、この場合の越し波量は減少するものと考えられる。図-3 および図-5 によれば、上述の現象は碎波帯より岸側において特に著しいようである。ゆえに波の来襲方向が限界されている海岸においては（例えば狭い湾口をもつ湾内の海岸）、図-5 の曲線により堤高を算出すれば、その工費を相当節約できるだろう。ただし水分子や波形の堤防沿いの進行を防ぐような条件が堤防前面に存在する場合は、その地盤において局部的に越し波量が大きくなつて災害の原因となる例があるから注意を要する。例えば巨大な防砂堤などを堤防先に設置する場合は、その附近の堤高を若干高くしなければならない。

(2) 傾斜壁の越し波防止効果 鉛直壁と同様に、傾斜壁の場合の越し波量と、法先水深、波形勾配、堤高、角度の関係を明らかにするため無次元表不レシード一例が図-6 である。この図は縦軸に $2\pi Q/H_0 L_0$ 、横軸に H_e/H_0 をとり、一定の沖浪の波形勾配ごとにまとめて、堤防の壁面角度 θ をパラメーターとして両対数紙にプロットしたものである。これらを滑らかな曲線で結んだ結果から内挿して、壁面角度 θ の効果を吟味したが、その結果の一例を示したのが図-7 である。これは各波形勾配および相対水深 h/L_0 ごとにまとめ、縦軸に相対

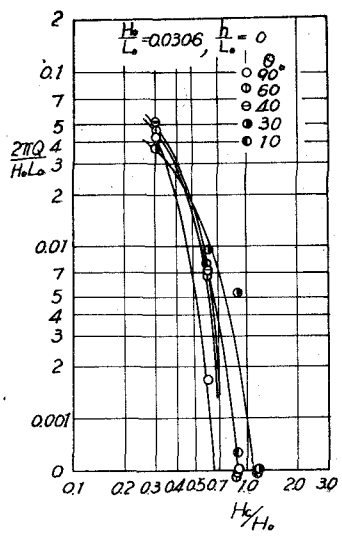


図-6 傾斜壁の相対堤高が無次元
越し波量に及ぼす影響

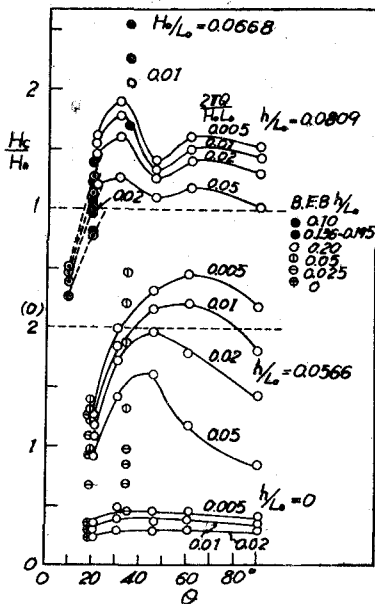


図-7 傾斜壁の相対堤高が無次元越し波量に及ぼす影響

堤高 H_e/H_0 、横軸に壁面角度 θ をとり、 $2\pi Q/H_0 L_0$ をパラメーターとしたものである。なお参考のため、1:1.5, 1:3, 1:6 の傾斜壁に対する B.E.B. の実験値をあわせあらわした。

これによると、汀線に堤防を置いた場合、すなわち $h/L_0 = 0$ では、沖波の波形勾配のいかんにかかわらず、壁面角度 30° 附近において越し波量の最大が生じているが、 h/L_0 が 0 でない他の相対堤防位置の場合に比較すれば、壁面角度 θ による影響が小さい。碎波指標による碎波点より若干岸側に堤防を置いた場合は、壁面角度が $30^\circ \sim 45^\circ$ のときに越し波量が非常に大きくなっている。したがって越し波量が相対的に小さいのは壁面角度が 90° に近いときか、 20° 以下のときであって、その中間の θ をもつ堤防では大きい越し波量を生じるから、このような断面型式の堤防を使用すれば、大きな堤高が必要になる。 θ が 20° 以下のときの越し波量は、碎波点附近および沖側に堤防を置いた場合比較的一定の値を示し、 θ が 30° 以上のときよりも、堤防法先水深の越し波量に対する影響が小さくなる。つまり、また鉛直壁のときよりかえて越し波量は小さくなる傾向が認められる。

以上の現象はつきのような原因によるものと推定される。すなわち、鉛直壁の場合堤防前面の水分子はほとんど鉛直方向の上下運動をするのみであるから、波頂と堤頂との水位差または飛沫のもつ若干の岸方向の水平速度成分によって水が堤頂を越えることになり、その越し波量は比較的小さいが、これに反し、傾斜壁の場合は壁面上の水分子が岸方向の水平速度成分をかなりもっているから、その越し波量は鉛直壁の場合より大きくなるものと考えられる。しかし、さらに壁面角度が小さくなれば、堤防前面における波高も減少し、波の打ち上げる距離も長くなつて、エネルギー消費の程度が大きくなるから、越し波量は減少することになるのであろう。また、壁面角度が小さい場合には、壁面上の水はかなり長い距離にわたつて流れの状態で運動するため、その越し波量に対して堤防の法先水深の変化はほとんど影響を及ぼさないことになるものと推定される。今まで述べた考え方とは碎波前の波に対するものであり、碎波後は波のエネルギーが減少しているため、越し波量は急減するようである。

以上のように越し波量の少ないのは、 θ が 90° に近いときか 20° より小さいときであるという結果が得られたが、外力および堤防法先の洗堀を考えると、鉛直に近い壁面はあまり感心できない。なぜならば、鉛直壁に波が衝突すれば、そのエネルギーの一部は下方に向つて法先を洗堀し、一部は堤体に大きめの波圧となって働くからである。このことは、碎波点より岸側に堤防があるて、堤体に波が流れの状態で衝突する場合にとくに著しいはずである。これに反し、 θ が小さいときは波のエネルギーを壁面上で徐々に消費せしめ、また下方に向うエネルギーがほとんどないので波圧も小さく、法先の洗堀はあまり起らぬいであろうが、鉛直壁にくらべると堤体の断面積が大きくなるから、その建設費が高くなる欠点をもつている。しかし、作用する波圧が小さいので安い材料で簡単な構造とすることができますし、また相対堤高 H/H_0 が小さくてすむ汀線附近に設置すれば、断面積が大きくなるという欠点を補うこともできよう。もし堤防の基礎が岩盤などのような良好な地盤であれば、建設費および越し波防止の立場からみて、鉛直壁またはそれに近い型式の堤防断面を用いれば効果的であると思われる。

4. 米国浜辺局の実験資料とその考察

以上は滑らか斜面をもつた鉛直壁および傾斜壁の越し波防止効果について、京大で行つたわれわれの実験結果に基づいて考察したものであるが、さらに堤防型式や海岸の条件その他が異なれば、越し波がどのように変化するかということが問題になる。幸にも米国のB.E.B.においてこの問題に対する実験が行われ、その結果が発表されているので、これらをわれわれの採用した無次元表示法によつてあらわし、若干の考察を加えてみよう。これらの実験では使用した波の特性や法先水深などが狭い範囲の値に限られていたので、実験範囲外の条件に対して考察することができなかつたが、前節に述べた鉛直壁および傾斜壁についてのわれわれの解析結果と比較すれば、それらの示す傾向から大過のない値を推定することができる。

(1) 堤防の断面型式の影響 ここで採用した実験値は主としてB.E.B.で行われた実験^{3), 7)}によるものであつて、使用した波の特性は沖波に換算して波高は90~300cm、周期は2.90~15.00sである。堤防模型としては 図-8に示す型式のものを使用し、これらを海岸に相当する1/10勾配の斜面に設置して、各堤防法先水深および沖浪に対して越し波量を測定している。ただI型については、浜勾配の影響を調べるために、1/25の浜勾配に対して実験を行つてゐる。

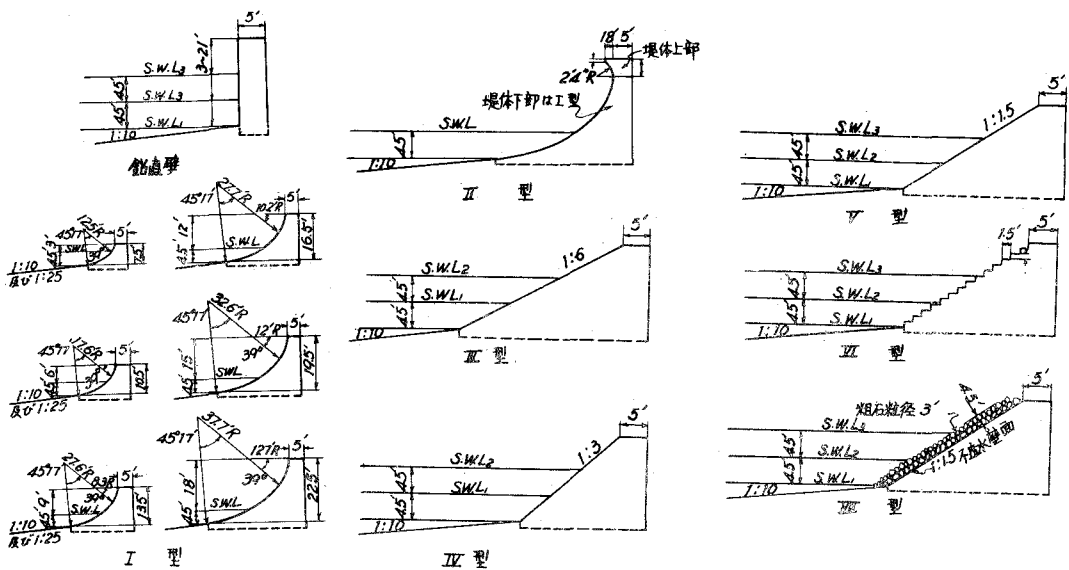


図-8 米国浜浸食局で用いた堤防模型

これらの実験値を前節の無次元量を用いてあらわした一例が図-9である。この図は各堤防型式の越し波量を鉛直壁および傾斜壁の場合と比較するのに都合がよいように、横軸に H_s/H_0 、縦軸に $2\pi Q/H_0 L$ ととつて、各沖浪の波形勾配 H_s/L および相対水深 z/L ごとにまとめてあるが、VIおよびVII型については 波形勾配が等しく波高の異なる大小2種の沖浪を用いたので、小型の沖浪に対するものを破線で示しておいた。各波形勾配および相対水深ごとにまとめて一連の関係図から、堤防の断面形状が越し波量に及ぼす影響を

きのようにより要約することができる。

1. 堤防法先水深の変化による越し波量の増減については、どの堤防型式でも鉛直壁の場合とはほぼ同様の傾向が認められる。

2. 越し波量が鉛直壁と同程度かまたはそれ以下である型式は、小堤高では I, II, III型、比較的大堤高では II, III型である。越し波量が鉛直壁より大きい型式は、小堤高では IV, V, VI型、比較的大堤高では I, VI型である。全体を通じて鉛直壁より越し波量の大きいのは VI型であり、鉛直壁と同程度かまたはそれ以下の越し波量であるのは II, III型である。ただし I型では、小堤高のときは鉛直壁と同程度の越し波量であるが、比較的大堤高のときは鉛直壁よりも越し波量が増加する。これは、水位の変化に対し静水面より上の堤防断面の形状が相似でないためと考えられる。すなわち、大堤高のときは波の打ち上げる壁面の形状が傾斜壁に似てきて、越し波量が鉛直壁より大きくなるが、小堤高のときは静水面が堤頂に接近し、波の打ち上げる壁面の形状が鉛直壁に近くなり、越し波量も鉛直壁と同程度になるのであろう。このことから、越し波量は反射率の場合とは逆に、静水面以上の壁面形状に主として影響されるといつてよいようである。

3. II型は I型の頂部にパラペットをつけたものであるが、越し波量が I型よりかなり小さくなっている。こうして頂部が若干沖側に弯曲しただけでも、越し波量が相当減少するから、パラペットの越し波防止効果は著しいと考えられ、上に述べた静水面以上の壁面形状が越し波量に大きい影響を及ぼすという事実を裏書きするものといえよう。

4. 大きい壁面粗度をもつ VI型および VII型の越し波量は、これと同じ壁面勾配をもつ V型のそれよりも小さいことが確かめられた。したがって越し波防止に対する壁面粗度の効果は明らかであるが、波の大きさによって相対粗度が変化するから、最高には相対粗度を考慮した実験によることが必要であり、改めて次項において考察する。

5. $1/10$ および $1/25$ の浜勾配の同一水深部に堤防をおいた場合、堤防位置が碎波点およびその沖側にあるときは、 $1/25$ 勾配に対する越し波量の方が少し大きいが大差はないから、浜勾配の影響はあまりないようである。しかし、碎波点より岸側に堤防があるときは、 $1/10$ 勾配に対する越し波量の方が相当大きく、その原因はつきのように考えられる。すなわち碎波後の波は流れに近い状態で進行して堤防に達するが、碎波点から堤防までの距離は $1/25$ 勾配のときの方が長く、それだけ流れのもつエネルギーの損失が大きいから、 $1/25$ 勾配に対する越し波量が $1/10$ 勾配に対するものより小さくなるのであろう。

(2) 壁面粗度の影響。この問題について、Sibul の実験結果⁷⁾をわれわれの無次元表示法を用いて換算し、考察を進めることにした。この実験は一定水深 1.69 メートルの水路の一端

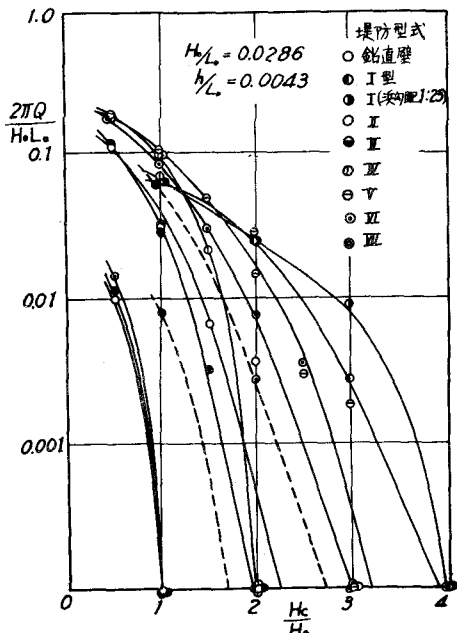


図-9 各種型式の堤防における越し波量と相対堤高との関係。

にフラッター型波起し機を据えて行ったもので、使用した波は沖波に換算して、波高は $0.0841\sim 0.271\text{ ft}$ 、周期は $0.75\sim 1.25\text{ s}$ である。模型堤防は壁面勾配 $1/2$ および $1/3$ の2種類であって、壁面に粗度を与えるときは、図-10のように角材を水平に並べている。堤頂が静水面以下にある場合の越し波量は、堤防の岸側および沖側の水位が等しいといふ条件の下で測定したものである。図-11は上述の実験結果をわれわれの方法で無次元表示した一例であるが、図中の k はJohnson⁸⁾の実験による開水路の相対粗度に換算した値である。この図からわかるように、壁面粗度の越し波量に対する影響は、堤防の有効高さ H_e の大きい場合に顕著であるが、堤高が小さい場合にはあまり影響が認められず、堤頂が静水面以下になると、粗面の越し波量は滑面のそれと同程度か、あるいはかえって大きくなっている。堤高と越し波量との関係に着目すれば、越し波量の最大となる限界堤高が明らかに存在し、この値は壁面粗度の存否に関係せず、 $H_e/H_0 = 0.1 \sim 0.2$ であることがわかる。

以上は一定水深における実験であって、波が碎けずに堤防を越える場合であり、堤防の壁面勾配が $1/2$ および $1/3$ であるために、壁面上では常にReynolds数が十分大きい流れの状態になっている。したがつて上の結果をそのまま碎波して越える場合に適用しても、壁面粗度による越し波防止効果はほとんど変わらないものと考えられ、その大体の値を図-11によって推定することができよう。

(3) 天端中およびパラペットの影響 越し波量に対する天端中の影響については、Sibulの実験⁷⁾があり、パラペットの影響については、Sibul⁷⁾や佐藤・岸⁹⁾の実験が発表されている。Sibulは天端中と沖波波高の比の増加による越し波量の減少率が、パラペットの高さと波高の比の函数であらわされるという興味ある結果をえている。しかし、これらの実験は前項と同様に一定水深における結果であり、傾斜した海滨面上を波が進上する場合に適用できるかどうかについては、なお問題となる点が少くないようである。

(4) 越し波量に対する風の影響 波が堤防を越える場合、風の影響によって越し波量が増加するであろうことが予想される。このような風の越し波量に及ぼす影響についてはCalifornia大学の実験⁴⁾があり、この結果とわれわれえた風を考慮していない場合の結果を比較すれば、壁面傾斜角度の小さい堤防ほど風による影響が大きいことがわかる。しかしながらこのCalifornia大学の値は風速 $6\sim 15\text{ m/s}$ における実験値であり、その値を直ちに自然界の風速に適用できるかどうかは疑問であり、その相似性が明らかにされていないかぎり、この結果をそのまま実際の海岸において用いるわけにはいかないであろう。

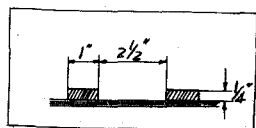


図-10 壁面粗度を与える方法

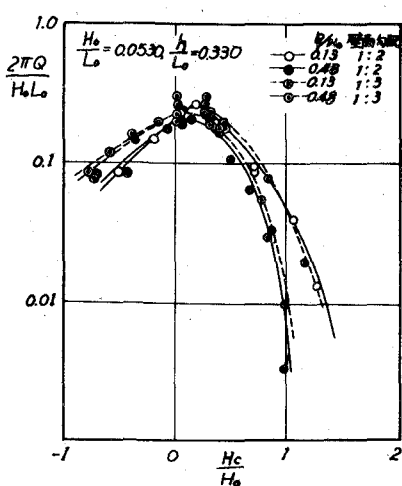


図-11 越し波量に対する壁面粗度の影響

5. 結論

われわれは1.~4.において京大および米国の資料にもとづいて、海岸堤防の越し波量に変化を与えると考えられる数多くの因子の効果について考察を進め、越し波量に対する新たな無次元表示方法を提唱してその妥当性を確かめるとともに、越し波量に最も大きな影響を与えるものが堤防前面の水深、すなわち潮位であることを明らかにした。なお、実際の海岸に適用する場合には、堤防前面の水深のほかに堤防の形状、海岸の特性、風の特性などについても慎重な考慮を要することはいうまでもないが、これらについてもある程度の考察を進めることができた。

最後にこの研究に終始協力していただいた木暮亨、細島博の両君に謝意を表するとともに、この研究が文部省科学研究費による総合研究の一部として行われたことを付記する。

参考文献

- 1) 石原藤次郎、岩垣雄一、鈴木雄太： 海岸堤防の設計、特にその有効高について、海岸工学講演会講演集、昭. 30. 11, pp. 57~70.
- 2) J.J. Healy : Wave damping effect of beaches, Proc. Minnesota Intern. Hydraulics Convention, 1953, pp. 213~220.
- 3) Thorndike Saville, Jr. : Laboratory Data on Wave Run-up and Overtopping on shore Structures, Beach Erosion Board, Tech. Memo. No. 64, 1955, pp. 1~32.
- 4) O.J. Sibul and E.G. Tickner : Model Study of Overtopping of Wind Generated Waves on Levees with Slopes of 1:3 and 1:6, Beach Erosion Board, Tech. Memo. No. 80, 1956, pp. 1~27.
- 5) 宮崎正衛： 近年日本沿岸に来襲した高潮について、海岸工学講演会講演集、昭. 31. 11, pp. 1~8.
- 6) 岸力、富永正照、大出哲： 利根川河口の氣象と潮位偏差、同上、pp. 27~32.
- 7) O.J.Sibul : Flow over reefs and structures by wave action, Trans. Amer. Geophys. Union, Vol. 36, No. 1, 1955.
- 8) J.W. Johnson : Rectangular Artificial Roughness in Open Channel, Trans. Amer. Geophys. Union, Vol. 34, 1944.
- 9) 佐藤清一、岸力： 海岸堤防の形状特性ならびに陸岸への運上、海岸工学講演会講演集、昭. 31. 11, pp. 127~138.